

**МЕХАНИКА  
ТВЕРДОГО ТЕЛА  
№ 2 • 2000**

УДК 531.55:521.2

© 2000 г. Е.Ю. КУЗНЕЦОВА, В.В. САЗОНОВ, С.Ю. ЧЕБУКОВ

**ЭВОЛЮЦИЯ БЫСТРОГО ВРАЩЕНИЯ СПУТНИКА  
ПОД ДЕЙСТВИЕМ ГРАВИТАЦИОННОГО  
И АЭРОДИНАМИЧЕСКОГО МОМЕНТОВ**

В рамках схемы метода усреднения, предложенной Ф.Л. Черноуско, исследована эволюция вращательного движения искусственного спутника Земли, близкого движению Эйлера – Пуансо, под действием гравитационного и аэродинамического моментов. Внешняя оболочка спутника имеет форму эллипсоида с близкими длинами полуосей. Действующий на такой спутник аэродинамический момент допускает аналитическое усреднение по движениям Эйлера – Пуансо и орбитальному кеплерову. В результате усреднения получена эволюционная система дифференциальных уравнений четвертого порядка относительно двух интегралов движения Эйлера – Пуансо и двух углов, задающих ориентацию вектора собственного кинетического момента спутника в абсолютной системе координат. В случае, когда внешняя оболочка спутника – сфера и аэродинамический момент существенно больше гравитационного, вектор кинетического момента спутника имеет неизменный модуль и совершает периодическую прецессию. Поэтому для спутника с формой, близкой к сфере, производится аналитическое усреднение эволюционной системы по прецессии вектора кинетического момента. Усредненная система имеет третий порядок и первый интеграл, позволяющий снизить ее порядок до второго. Проведено исследование фазового портрета полученной системы второго порядка при различных значениях входящих в нее параметров.

**1. Уравнения движения и постановка задачи.** Рассмотрим искусственный спутник Земли, представляющий собой твердое тело, центр масс которого движется по кеплеровой эллиптической орбите с большой полуосью  $a$  и эксцентриситетом  $e$ . Положение спутника на орбите будем задавать истинной аномалией  $v$ . Пусть внешняя оболочка спутника имеет форму эллипсоида, близкого к сфере. Длины полуосей эллипсоида обозначим  $b_1, b_2, b_3$  и положим  $b_2 = b_1(1 - \varepsilon_1), b_3 = b_1(1 - \varepsilon_2)$ , где  $\varepsilon_1$  и  $\varepsilon_2$  – малые параметры.

Для записи уравнений движения спутника относительно центра масс введем четыре правые декартовы системы координат.

$O's_1s_2s_3$  – система координат, связанная с внешней оболочкой спутника. Внешняя оболочка в этой системе задается уравнением

$$s_1^2/b_1^2 + s_2^2/b_2^2 + s_3^2/b_3^2 = 1$$

$Ox_1x_2x_3$  – система координат, образованная главными центральными осями инерции спутника, точка  $O$  – центр масс спутника.

$Oy_1y_2y_3$  – перигейная система координат, ось  $Oy_3$  направлена параллельно геоцентрическому радиусу-вектору перигея орбиты, ось  $Oy_1$  параллельна геоцентрической скорости спутника в перигее. Направления осей этой системы считаем неизменными в абсолютном пространстве.

$Oz_1z_2z_3$  – система координат, связанная с вектором  $L$  кинетического момента спутника, вычисленного для его движения относительно точки  $O$ . Ось  $Oz_3$  направлена по

$L$ , ось  $Oz_2$  лежит в плоскости  $Oy_1y_3$ . Ниже, если не оговорено особо, компоненты векторов указываются в системе  $Oz_1z_2z_3$ .

Положение системы координат  $Oz_1z_2z_3$  относительно системы  $Oy_1y_2y_3$  будем задавать двумя способами [1]. Первый способ состоит в использовании углов  $\rho$  и  $\sigma$ , которые вводятся следующим образом: угол  $\rho$  образован осями  $Oy_2$  и  $Oz_3$ , угол  $\sigma$  – осями  $Oy_1$  и  $Oz_2$ . Направление отсчета этих углов согласовано с направлениями осей  $Oz_2$  и  $Oy_2$  соответственно. Во втором способе используются углы  $\theta$  и  $\lambda$ , первый из них – это угол между осями  $Oy_1$  и  $Oz_3$ , второй отсчитывается от оси  $Oy_2$  до проекции оси  $Oz_3$  на плоскость  $Oy_1y_3$ . Элементы матрицы перехода  $\left\| \beta_{ij} \right\|_{i,j=1}^3$  от системы  $Oz_1z_2z_3$  к системе  $Oy_1y_2y_3$  ( $\beta_{ij}$  – косинус угла между осями  $Oy_i$  и  $Oz_j$ ) выражаются через углы  $\rho$  и  $\sigma$  следующим образом

$$\beta_{11} = \sin \sigma \cos \rho, \quad \beta_{12} = \cos \sigma, \quad \beta_{13} = \sin \sigma \sin \rho$$

$$\beta_{21} = -\sin \rho, \quad \beta_{22} = 0, \quad \beta_{23} = \cos \rho$$

$$\beta_{31} = \cos \sigma \cos \rho, \quad \beta_{32} = -\sin \sigma, \quad \beta_{33} = \cos \sigma \sin \rho$$

Направляющие косинусы оси  $Oz_3$  в системе  $Oy_1y_2y_3$  выражаются через углы  $\theta$  и  $\lambda$  по формулам

$$\beta_{13} = \cos \theta, \quad \beta_{23} = \sin \theta \cos \lambda, \quad \beta_{33} = \sin \theta \sin \lambda \quad (1.1)$$

Ориентацию системы  $Ox_1x_2x_3$  относительно системы  $Oz_1z_2z_3$  зададим углами Эйлера: углом прецессии  $\psi$ , углом нутации  $\vartheta$  и углом собственного вращения  $\phi$ . Матрицу перехода от системы  $Ox_1x_2x_3$  к системе  $Oz_1z_2z_3$  обозначим  $\left\| \alpha_{ij} \right\|_{i,j=1}^3$ . Элементы этой матрицы  $\alpha_{ij} = \cos(Oz_i, Ox_j)$  выражаются через углы Эйлера с помощью известных формул (см. например, [1]).

Ориентацию осей системы  $Ox_1x_2x_3$  относительно системы  $O's_1s_2s_3$  зададим матрицей  $\left\| a_{ij} \right\|_{i,j=1}^3$ , где  $a_{ij} = \cos(O's_i, Ox_j)$ . Элементы этой матрицы считаем неизменными.

Из внешних моментов, приложенных к спутнику, будем учитывать аэродинамический и гравитационный. Гравитационный момент  $M_g$  задается простыми аналитическими выражениями [1].

При вычислении аэродинамического момента будем считать, что атмосфера неподвижна в абсолютном пространстве и молекулы воздуха при столкновении с поверхностью спутника испытывают абсолютно неупругий удар. В этом случае аэродинамический момент относительно точки  $O$  определяется формулой

$$M_a = \rho_a v^2 S (\mathbf{d} \times \mathbf{e}_v)$$

где  $\rho_a$  – плотность набегающего на спутник аэродинамического потока,  $v$  и  $\mathbf{e}_v$  – модуль и орт геоцентрической скорости центра масс спутника,  $S$  – площадь ортогональной проекции внешней оболочки спутника на плоскость, перпендикулярную  $\mathbf{e}_v$ ,  $\mathbf{d}$  – вектор, направленный из точки  $O'$  в центр масс спутника  $O$ . Пусть в системе  $O's_1s_2s_3$   $\mathbf{e}_v = (\alpha_1, \alpha_2, \alpha_3)$ ,  $\mathbf{d} = (D_1, D_2, D_3)$ . Тогда  $D_i$  – неизменные величины

$$S = \pi b_1 b_2 b_3 \sqrt{\alpha_1^2 / b_1^2 + \alpha_2^2 / b_2^2 + \alpha_3^2 / b_3^2}$$

Подставим в последнюю формулу указанные выше формулы для  $b_2$  и  $b_3$  и разложим полученное выражение в ряд по  $\epsilon_1$ ,  $\epsilon_2$ . Сохраняя в этом разложении линейные по  $\epsilon_1$  и  $\epsilon_2$  члены, будем иметь

$$S = \pi b_1^2 (1 - \epsilon_1 - \epsilon_2 + \epsilon_1 \alpha_2^2 + \epsilon_2 \alpha_3^2)$$

Представим площадь  $S$  в виде суммы слагаемого  $\pi b_1^2(1 - \varepsilon_1 - \varepsilon_2)$ , не зависящего от ориентации спутника, и слагаемого  $\pi b_1^2(\varepsilon_1 \alpha_2^2 + \varepsilon_2 \alpha_3^2)$ , которое от ориентации зависит. Тогда аэродинамический момент можно представить в виде суммы

$$\mathbf{M}_a = \mathbf{M}_{a1} + \mathbf{M}_{a2}, \quad \mathbf{M}_{a1} = q(1 - \varepsilon_1 - \varepsilon_2)(\mathbf{d} \times \mathbf{e}_v)$$

$$\mathbf{M}_{a2} = q(\varepsilon_1 \alpha_2^2 + \varepsilon_2 \alpha_3^2)(\mathbf{d} \times \mathbf{e}_v), \quad q = \pi b_1^2 \rho_a v^2$$

Уравнения движения спутника относительно центра масс запишем в виде [1, 2]:

$$\dot{L} = M_3, \quad L\dot{\rho} = M_1, \quad L\dot{\sigma} \sin \vartheta = M_2$$

$$\dot{\psi} = L \left( \frac{\sin^2 \varphi}{A} + \frac{\cos^2 \varphi}{B} \right) - \frac{M_1 \cos \psi + M_2 \sin \psi}{L \operatorname{tg} \vartheta} - \frac{M_2}{L \operatorname{tg} \vartheta} \quad (1.2)$$

$$\dot{\phi} = L \cos \vartheta \left( \frac{1}{C} - \frac{\sin^2 \varphi}{A} - \frac{\cos^2 \varphi}{B} \right) + \frac{M_1 \cos \psi + M_2 \sin \psi}{L \sin \vartheta}$$

$$\dot{\vartheta} = L \sin \vartheta \cos \varphi \sin \phi \left( \frac{1}{A} - \frac{1}{B} \right) - \frac{M_1 \sin \psi - M_2 \cos \psi}{L}$$

Здесь  $L = |\mathbf{L}|$ ; точкой обозначено дифференцирование по времени  $t$ ;  $A, B$  и  $C$  – моменты инерции спутника относительно осей  $Ox_1, Ox_2$  и  $Ox_3$ ;  $M_1, M_2$  и  $M_3$  – компоненты момента  $\mathbf{M}_g + \mathbf{M}_a$ .

В качестве одной из переменных, описывающих движение спутника, будем использовать величину  $z$ , определяемую соотношением

$$z = \sin^2 \vartheta \sin^2 \varphi + \mu \cos^2 \vartheta, \quad \mu = \frac{A(B - C)}{C(B - A)} \quad (1.3)$$

Дифференциальное уравнение для  $z$  имеет вид

$$\begin{aligned} \dot{z} = & \frac{2 \sin \vartheta}{L} [\sin \varphi \cos \varphi (M_1 \cos \psi + M_2 \sin \psi) + \\ & + (\mu - \sin^2 \varphi) \cos \vartheta (M_1 \sin \psi - M_2 \cos \psi)] \end{aligned} \quad (1.4)$$

Правую часть этого уравнения обозначим через  $F$  и представим в виде суммы  $F = F_g + F_{a1} + F_{a2}$ . Здесь  $F_g, F_{a1}$  и  $F_{a2}$  – вклады в  $F$  моментов  $\mathbf{M}_g, \mathbf{M}_{a1}$  и  $\mathbf{M}_{a2}$ .

Влияние внешних моментов на собственное вращение спутника будем считать малым. Это предположение позволяет применить для приближенного интегрирования уравнений (1.2) схему метода усреднения, предложенную в [2]. Согласно этой схеме движение спутника рассматривается как медленная эволюция его движения Эйлера – Пуансо, характеризуемого переменными  $L, \rho, \sigma$  и  $z$ . Переменные  $L, \rho$  и  $\sigma$  задают вектор  $\mathbf{L}$  в абсолютном пространстве; переменная  $z$  характеризует движение спутника относительно этого вектора. Дифференциальные уравнения, описывающие в нерезонансном случае эволюцию указанных переменных, получаются усреднением правых частей первых трех уравнений (1.2) и уравнения (1.4) по невозмущенному движению Эйлера – Пуансо. В случае исследования движения на интервалах времени, существенно превышающих орбитальный период спутника, эволюционные уравнения целесообразно усреднить и по орбитальному кеплерову движению.

**2. Вывод эволюционных уравнений.** Невозмущенное движение спутника описывается системой (1.2) при  $M_1 = M_2 = M_3 = 0$ . Первые три уравнения этой системы имеют вид  $\dot{L} = 0, \dot{\rho} = 0, \dot{\sigma} = 0$  и означают, что собственный кинетический момент спутника

сохраняет свой модуль и направление в абсолютном пространстве. Остальные уравнения системы невозмущенного движения

$$\dot{\psi} = L \left( \frac{\sin^2 \varphi}{A} + \frac{\cos^2 \varphi}{B} \right) \quad (2.1)$$

$$\begin{aligned} \dot{\varphi} &= L \cos \vartheta \left( \frac{1}{C} - \frac{\sin^2 \varphi}{A} - \frac{\cos^2 \varphi}{B} \right) \\ \dot{\vartheta} &= L \sin \vartheta \cos \varphi \sin \varphi \left( \frac{1}{A} - \frac{1}{B} \right) \end{aligned} \quad (2.2)$$

в которых  $L$  – параметр, описывают движение твердого тела в случае Эйлера – Пуансо. Уравнения (2.2) не содержат  $\psi$  и образуют замкнутую систему. После того, как решение такой системы найдено,  $\psi$  определяется квадратурой из (2.1).

Интегрирование системы (2.2) проведем полагая  $B > C > A$ . Эти неравенства далее всюду считаются выполнеными. В этом случае  $\mu > 0$  и переменная  $z$  принимает только неотрицательные значения. Система (2.2) допускает первый интеграл  $z = \text{const}$ , позволяющий свести ее интегрирование к квадратуре. При

$$z < \mu \quad (2.3)$$

когда полодии охватывают ось  $Ox_2$  (случай  $z > \mu$  будет рассмотрен ниже) делается замена переменных  $(\vartheta, \varphi) \rightarrow (z, \alpha)$ :

$$\sin \vartheta \sin \varphi = -\sqrt{z} \cos \alpha, \quad \cos \vartheta = \sqrt{\frac{z}{\mu}} \sin \alpha$$

приводящая уравнения (2.2) к виду

$$\begin{aligned} \dot{z} &= 0, \quad \dot{\alpha} = \Omega_1 \sqrt{1 - k^2 \sin^2 \alpha} \\ \Omega_1 &= \frac{L}{B} \sqrt{\frac{(B-C)(B-A)(1-z)}{AC}}, \quad k^2 = \frac{z(1-\mu)}{\mu(1-z)} \end{aligned}$$

Здесь вследствие (2.3) и неравенств для моментов инерции спутника  $0 \leq k^2 < 1$ . Решение уравнения относительно  $\alpha$  сводится к обращению неполного эллиптического интеграла первого рода и дает соотношения

$$\sin \vartheta \sin \varphi = -\sqrt{z} \operatorname{cn} \tau, \quad \cos \vartheta = \sqrt{z/\mu} \operatorname{sn} \tau \quad (2.4)$$

где  $\operatorname{sn} \tau$  и  $\operatorname{cn} \tau$  – эллиптические функции Якоби с модулем  $k$ ,  $\tau = \Omega_1(t + t_0)$ ,  $t_0$  – произвольная постоянная. Решение (2.4) – периодическое с периодом  $T_1 = 4K(k)/\Omega_1$ ,  $K(k)$  – полный эллиптический интеграл первого рода. Подставляя (2.4) в уравнение (2.1) и интегрируя его, получаем

$$\psi = \Omega_\psi(t + t_0) + \psi_1(t + t_0) + \text{const} \quad (2.5)$$

$$\Omega_\psi = \frac{L}{B} [1 + O(z)], \quad \psi_1 \left( t + \frac{T_1}{2} \right) = \psi_1(t), \quad \psi_1(t) = O(z)$$

При  $z = 0$  соотношения (2.4), (2.5) принимают вид  $\sin \vartheta \sin \varphi = 0$ ,  $\cos \vartheta = 0$ ,  $\psi = Lt/B + \text{const}$  и описывают стационарное вращение спутника вокруг оси  $Ox_2$ .

Результат усреднения произвольной функции  $f(\psi, \vartheta, \varphi)$  по движению Эйлера – Пуансо будем обозначать  $\langle f \rangle_e$ . В случае, когда частоты  $2\pi/T_1$  и  $\Omega_\psi$  рационально не-

соизмеримы, такое усреднение сводится к вычислению двойного интеграла [2]:

$$\langle f \rangle_e = \frac{1}{2\pi T_1} \int_0^{2\pi} d\psi \int_0^{T_1} f[\psi, \vartheta(t), \phi(t)] dt$$

Далее будет рассматриваться только этот случай.

Усредняемая функция кроме углов  $\psi$ ,  $\vartheta$  и  $\phi$  может зависеть также от других переменных, например, от  $v, L$  и т.д. Если эти переменные изменяются со временем существенно медленнее углов  $\psi$ ,  $\vartheta$  и  $\phi$ , то при усреднении по движению Эйлера – Пуансо они должны считаться неизменными.

Эволюционные уравнения для переменных  $L, \rho, \sigma, z$  имеют вид [2]:

$$\dot{L} = \langle M_3 \rangle_e, \quad L\dot{\rho} = \langle M_1 \rangle_e, \quad L\dot{\sigma} \sin \rho = \langle M_2 \rangle_e, \quad \dot{z} = \langle F \rangle_e \quad (2.6)$$

Правые части этих уравнений линейно зависят от приложенных к спутнику внешних моментов, поэтому можно по отдельности вычислить слагаемые правых частей, отвечающие моментам  $M_g, M_{a1}$  и  $M_{a2}$ .

Усреднение слагаемых, отвечающих гравитационному моменту, было проведено в [2] и приводит к формулам

$$\langle M_g \rangle_e = N_1 \sin \rho \cos(v - \sigma) (-\sin(v - \sigma), \cos \rho \cos(v - \sigma), 0)$$

$$\langle F_g \rangle_e = 0, \quad N_1 = \frac{3\mu_E N(1 + e \cos v)^3}{2a^3(1 - e^2)^3}$$

$$N = A + C - 2B + \frac{3z(B - A)}{A} \left[ A + (C - A) \frac{K(k) - E(k)}{k^2 K(k)} \right]$$

где  $\mu_E$  – гравитационный параметр Земли,  $E(k)$  – полный эллиптический интеграл второго рода.

Пусть  $e_v = (\delta_1, \delta_2, \delta_3)$ . Тогда результаты усреднения слагаемых  $M_{a1}, M_{a2}$  аэродинамического момента и величин  $F_{a1}, F_{a2}$  записываются в виде

$$\begin{aligned} \langle M_{a1} \rangle_e &= q(1 - \varepsilon_1 - \varepsilon_2) D_2 J_3(-\delta_2, \delta_1, 0), \quad \langle F_{a1} \rangle_e = 0 \\ \langle M_{a2} \rangle_e &= (\Lambda_1, \Lambda_2, \Lambda_3), \quad \langle F_{a2} \rangle_e = 2q\delta_3^2 U_4 / L \end{aligned} \quad (2.7)$$

$$\Lambda_1 = -q[\delta_3^2(\delta_1 U_2 - \delta_2 U_1) + \delta_2(\delta_1^2 + \delta_2^2)U_3]$$

$$\Lambda_2 = -q[\delta_3^2(\delta_1 U_1 + \delta_2 U_2) - \delta_1(\delta_1^2 + \delta_2^2)U_3], \quad \Lambda_3 = q\delta_3(\delta_1^2 + \delta_2^2)U_2$$

$$U_1 = 2(2q_1 + q_6 - q_7)J_1 + 2(2q_4 + q_8 - q_7)J_2 + (q_1 + q_4 - q_7)J_3$$

$$U_2 = (q_2 - q_3)F_1 + (q_5 - q_3)F_2$$

$$U_3 = \frac{1}{2}(2q_1 + q_6 - q_7)J_1 + \frac{1}{2}(2q_4 + q_8 - q_7)J_2 + \frac{1}{2}(q_6 + q_8)J_3$$

$$U_4 = (q_2 - q_3)F_3 + (q_5 - q_3)F_4$$

$$q_1 = D_1(\varepsilon_1 a_{12} a_{22} + \varepsilon_2 a_{13} a_{23}), \quad q_2 = D_1(\varepsilon_1 a_{22} a_{32} + \varepsilon_2 a_{23} a_{33})$$

$$q_3 = D_3(\varepsilon_1 a_{12} a_{22} + \varepsilon_2 a_{13} a_{23}), \quad q_4 = D_3(\varepsilon_1 a_{22} a_{32} + \varepsilon_2 a_{23} a_{33})$$

$$q_5 = D_2(\varepsilon_1 a_{12} a_{32} + \varepsilon_2 a_{13} a_{33}), \quad q_6 = D_2(\varepsilon_1 a_{12}^2 + \varepsilon_2 a_{13}^2)$$

$$q_7 = D_2(\varepsilon_1 a_{22}^2 + \varepsilon_2 a_{23}^2), \quad q_8 = D_2(\varepsilon_1 a_{32}^2 + \varepsilon_2 a_{33}^2)$$

$$J_1 = -\frac{\pi z \sqrt{1-z}}{4K(k)}, \quad J_2 = -\frac{\pi z}{4\mu K(k)}, \quad J_3 = \frac{\pi \sqrt{1-z}}{2K(k)}$$

$$F_1 = \frac{z(1-I)}{k^2 \mu} - (1-z)I, \quad F_2 = \frac{z(k^2 + I - 1)}{k^2} - \frac{z(1-I)}{\mu k^2}$$

$$F_3 = \frac{2(1-z)}{3(1-\mu)} [\mu - z + (2z - \mu - z\mu)I]$$

$$F_4 = \frac{2(1-z)}{3(1-\mu)} [2(z - \mu) + (2\mu - z - z\mu)I], \quad I = \frac{E(k)}{K(k)}$$

Здесь  $q_i$  – параметры,  $J_i, F_i$  – функции медленной переменной  $z$ .

При изучении эволюции вращательного движения спутника на интервалах времени, существенно превышающих орбитальный период, дополнительно к усреднению правых частей уравнений для  $\dot{L}, \dot{p}, \dot{\sigma}, \dot{z}$  по движению Эйлера – Пуансо целесообразно усреднить эти правые части и по орбитальному движению. В исследуемом случае зависимость от орбитального движения представляется с помощью формул задачи двух тел в виде зависимости от истинной аномалии центра масс спутника. Для произвольной функции  $f(v)$  ее среднее значение  $\langle f \rangle_o$  по орбитальному движению выражается интегралом

$$\langle f \rangle_o = \frac{(1-e^2)^{3/2}}{2\pi} \int_0^{2\pi} \frac{f(v)}{(1+e \cos v)^2} dv$$

Двойное усреднение по движениям Эйлера – Пуансо и орбитальному кеплерову будем обозначать символом  $\langle \cdot \rangle$ .

Выражения для  $\langle M_g \rangle$  и  $\langle F_g \rangle$  получены в [2]:

$$\langle M_g \rangle = m_g (0, \sin \rho \cos \rho, 0), \quad \langle F_g \rangle = 0, \quad m_g = \frac{3\mu_E N}{4a^3(1-e^2)^{3/2}}$$

При усреднении по орбитальному движению членов уравнений (2.6), обусловленных аэродинамическим моментом, введем дополнительные упрощающие предположения. Орбиту спутника будем считать близкой к круговой и во всех соотношениях кроме соотношений, задающих изменение плотности атмосферы вдоль орбиты, положим  $e = 0$ . В частности, будем считать  $v = \sqrt{\mu_E/a}$ ,  $\delta_1 = \cos \rho \sin(\sigma - v)$ ,  $\delta_2 = \cos(\sigma - v)$ ,  $\delta_3 = \sin \rho \sin(\sigma - v)$ . Зависимость плотности набегающего на спутник аэродинамического потока от истинной аномалии выразим формулой

$$\rho_a = \rho_\pi \exp[\eta(1 - \cos v)], \quad \eta = \frac{1}{2} \ln \frac{\rho_\alpha}{\rho_\pi}$$

где  $\rho_\alpha$  и  $\rho_\pi$  – значения плотности атмосферы в апогее и перигее соответственно. Для эксцентриситетов  $e < 0,01$  такие упрощения вполне оправданы. Усреднение по орбитальному движению членов, содержащих  $\rho_a$ , приводит к появлению коэффициентов

$$I_n = \frac{1}{8\pi} \int_0^{2\pi} \exp[\eta(1 - \cos v)] \cos nv dv \quad (n = 1, 3)$$

Имеем

$$\langle M_{a1} \rangle = m_a (-\cos \sigma, \sin \sigma \cos \rho, 0), \quad \langle F_{a1} \rangle = 0$$

$$m_a = 4I_1 \rho_\pi \frac{\mu_E}{a} \pi b_1^2 (1 - \varepsilon_1 - \varepsilon_2) D_2 J_3$$

Явные формулы для  $\langle M_{a2} \rangle$  и  $\langle F_{a2} \rangle$  выписывать не будем ввиду их громоздкости. Укажем только, что для вывода этих формул из (2.7) следует воспользоваться выражениями

$$\langle \rho_a \delta_1^3 \rangle_o = \rho_\pi (3I_1 \sin \sigma - I_3 \sin 3\sigma) \cos^3 \rho$$

$$\langle \rho_a \delta_2^3 \rangle_o = \rho_\pi (3I_1 \cos \sigma + I_3 \cos 3\sigma)$$

$$\langle \rho_a \delta_3^3 \rangle_o = \rho_\pi (3I_1 \sin \sigma - I_3 \sin 3\sigma) \sin^3 \rho$$

$$\langle \rho_a \delta_1 \delta_2^2 \rangle_o = \rho_\pi (I_1 \sin \sigma + I_3 \sin 3\sigma) \cos \rho$$

$$\langle \rho_a \delta_1^2 \delta_2 \rangle_o = \rho_\pi (I_1 \cos \sigma - I_3 \cos 3\sigma) \cos^2 \rho$$

$$\langle \rho_a \delta_1 \delta_3^2 \rangle_o = \rho_\pi (3I_1 \sin \sigma - I_3 \sin 3\sigma) \sin^2 \rho \cos \rho$$

$$\langle \rho_a \delta_1^2 \delta_3 \rangle_o = \rho_\pi (3I_1 \sin \sigma - I_3 \sin 3\sigma) \sin \rho \cos^2 \rho$$

$$\langle \rho_a \delta_2 \delta_3^2 \rangle_o = \rho_\pi (I_1 \cos \sigma - I_3 \cos 3\sigma) \sin^2 \rho$$

$$\langle \rho_a \delta_2^2 \delta_3 \rangle_o = \rho_\pi (I_1 \sin \sigma + I_3 \sin 3\sigma) \sin \rho$$

которые устанавливаются непосредственным вычислением.

**3. Исследование эволюционных уравнений.** Аэродинамический момент  $M_{a1}$  – это момент, который действует на спутник в форме сферы радиуса  $b_1(1 - \varepsilon_1/2 - \varepsilon_2/2)$ . Момент  $M_{a2}$  по отношению к  $M_{a1}$  имеет порядок  $O(|\varepsilon_1| + |\varepsilon_2|)$ . Будем рассматривать  $M_{a2}$  как малое возмущение. Запишем эволюционные уравнения для  $L$ ,  $\rho$ ,  $\sigma$ ,  $z$ , учитывая явный вид  $\langle M_g \rangle$  и  $\langle M_{a1} \rangle$ :

$$\dot{L} = \langle \Lambda_3 \rangle_o, \quad \dot{z} = \langle F_{a2} \rangle, \quad L\dot{\rho} = -m_a \cos \sigma + \langle \Lambda_1 \rangle_o$$

$$L\dot{\sigma} \sin \rho = m_a \sin \sigma \cos \rho + m_g \sin \rho \cos \rho + \langle \Lambda_2 \rangle_o$$

Напомним, что  $m_a$  и  $m_g$  являются функциями  $z$ . Если пренебречь влиянием момента  $M_{a2}$ , т.е. считать внешнюю оболочку спутника сферой, то эти уравнения перейдут в уравнения:

$$\dot{L} = 0, \quad \dot{z} = 0, \quad L\dot{\rho} = -m_a \cos \sigma \tag{3.1}$$

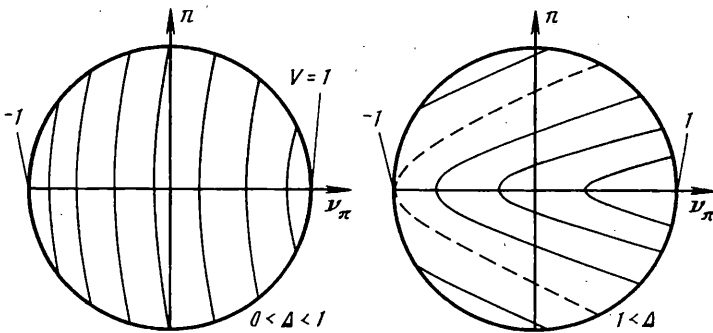
$$L\dot{\sigma} \sin \rho = m_a \sin \sigma \cos \rho + m_g \sin \rho \cos \rho$$

Здесь уже  $L$ ,  $z$ ,  $m_a$  и  $m_g$  можно считать постоянными параметрами. Аналогичные по виду уравнения для динамически симметричного спутника с осесимметричной внешней оболочкой получены и исследованы в [1]. В этой работе усреднение исходных уравнений движения проводилось по регулярной прецессии Эйлера, т.е. рассматривалась более простая задача. Но, как и в случае учета одного лишь гравитационного момента [2], переход к трехосному спутнику и усреднению по движению Эйлера – Пуансо не изменил вида эволюционных уравнений и привел только к изменению выражений, определяющих их коэффициенты.

Уравнения (3.1) играют в последующем анализе роль невозмущенной системы. Они имеют первый интеграл

$$V \equiv \sin \rho \sin \sigma - \frac{\Delta}{2} \cos^2 \rho = \cos \theta - \frac{\Delta}{2} \cos^2 \rho = \text{const} \tag{3.2}$$

где  $\Delta = m_g/m_a$ ,  $\Delta = \Delta(z)$  – параметр, характеризующий отношение гравитационного и



Фиг. 1

аэродинамического момента. Линии уровня интеграла (3.2) удобно рассматривать на поверхности единичной сферы в системе координат  $Oy_1y_2y_3$  и интерпретировать как след вектора  $\mathbf{L}$  [1]. Эти линии замкнуты, их проекции на плоскость  $Oy_1y_2$  представляют собой параболы  $2V = 2y_1 - \Delta y_2^2$  (фиг. 1).

При  $|\Delta| > 1$  существуют два семейства парабол, разделенных сепаратрисой  $2y_1 = \Delta y_2^2 - 2$ . Эти семейства отвечают вращениям вектора  $\mathbf{L}$  вокруг разных прямых. В предельных случаях  $\Delta = 0$  и  $\Delta = \infty$  эти прямые совпадают с осями  $Oy_1$  и  $Oy_2$  соответственно, линии уровня первого интеграла (3.2) представляют собой окружности, вектор  $\mathbf{L}$  совершает прецессию вокруг оси  $Oy_1$  или  $Oy_2$ .

Невозмущенная система (3.1) имеет три первых интеграла:  $L = \text{const}$ ,  $z = \text{const}$  и  $V = \text{const}$ . При учете возмущающего момента  $M_a 2$  переменные  $L$ ,  $z$  и  $V$  будут незначительно изменяться. В случае низколетящего спутника период обхода вектором  $\mathbf{L}$  какой-либо траектории, определяемой уравнением (3.2), составляет обычно несколько суток [1, 3]. При изучении эволюции вращательного движения спутника на интервалах времени, существенно превышающих это значение, целесообразно усреднить вдоль этой траектории правые части уравнений для  $L$ ,  $z$  и  $V$ , записанных с учетом момента  $\langle M_a 2 \rangle$ .

Дифференциальные уравнения для  $L$  и  $z$  были выписаны выше, дифференциальное уравнение для  $V$  имеет вид

$$L \dot{V} = \langle \Lambda_1 \rangle_o (\sin \sigma + \Delta \sin \rho) \cos \rho + \langle \Lambda_2 \rangle_o \cos \sigma - \frac{L}{2} \frac{d\Delta}{dz} \langle F_{a2} \rangle \cos^2 \rho \quad (3.3)$$

Будем считать, что  $|\Delta| < 1$ . Тогда при обходе вектором  $\mathbf{L}$  кривой (3.2) угол  $\lambda$  (см. п. 1) меняется от 0 до  $2\pi$ , поэтому для усреднения по движению вдоль такой траектории удобно сделать замену переменных  $(\rho, \sigma) \rightarrow (\theta, \lambda)$ . С этой целью воспользуемся соотношениями (1.1). В результате сделанных преобразований третье и четвертое уравнения в системе (3.1) переходят в уравнения

$$L \dot{\theta} = -m_g \sin \lambda \cos \lambda \sin \theta, \quad L \dot{\lambda} = -m_a - m_g \cos^2 \lambda \cos \theta \quad (3.4)$$

Выписанные уравнения допускают первый интеграл

$$V \equiv \cos \theta - \frac{1}{2} \Delta \sin^2 \theta \cos^2 \lambda = \text{const} \quad (3.5)$$

соответствующий (3.2). Используя этот интеграл, можно понизить порядок системы (3.4) и свести ее к уравнению

$$L \ddot{\lambda} = -m_a \sqrt{1 + 2V\Delta \cos^2 \lambda + \Delta^2 \cos^4 \lambda}$$

Решения этого уравнения удовлетворяют соотношению  $\lambda(t + T) \equiv \lambda(t) - 2\pi$ , где

$$T = \frac{L}{m_a} \int_0^{2\pi} \frac{d\lambda}{\sqrt{1 + 2V\Delta \cos^2 \lambda + \Delta^2 \cos^4 \lambda}}$$

Среднее значение произвольной функции  $f(\lambda, \theta)$  вдоль решений системы (3.4) выражается интегралом

$$\frac{L}{m_a T} \int_0^{2\pi} \frac{f[\lambda, \theta(\lambda)] d\lambda}{\sqrt{1 + 2V\Delta \cos^2 \lambda + \Delta^2 \cos^4 \lambda}} \quad (3.6)$$

Здесь функция  $\theta(\lambda)$  определена соотношением (3.5).

Для низколетящих спутников, как правило,  $|\Delta|$  мало [1, 3]. При  $|\Delta| < 1$  каждая из парабол  $2V = 2y_1 - \Delta y_2^2$  на плоскости  $Oy_1y_2$  заключена между двумя вертикальными прямыми, отстоящими друг от друга не более, чем на  $|\Delta|/2$ . Заменим параболу, соответствующую значению интеграла (3.2)  $V = V_0$ , вертикальным отрезком  $y_1 = V_0$ . Этот отрезок соответствует окружности на поверхности единичной сферы. Относительная ошибка в вычислении интеграла (3.5) при такой замене будет порядка  $\Delta$ , а сама замена означает, что значение  $\Delta$  принимается равным нулю. Поскольку  $d\Delta/dz \sim \Delta$ , в рассматриваемой ситуации в правой части (3.3) можно отбросить последнее слагаемое. В результате указанных упрощений уравнение (3.3) и система (3.4) примут вид:

$$L\dot{V} = \beta_{11}\langle\Lambda_1\rangle_o + \beta_{12}\langle\Lambda_2\rangle_o \quad (3.7)$$

$$\dot{\Theta} = 0, \quad L\dot{\lambda} = -m_a \quad (3.8)$$

Усреднение вдоль решений системы (3.8) произвольной функции  $f(\lambda, \theta)$  сводится к вычислению интеграла

$$\frac{1}{2\pi} \int_0^{2\pi} f(\lambda, \theta) d\lambda$$

при неизменном  $\Theta$ . Усреднение таким способом правых частей эволюционных уравнений для  $\dot{V}$ ,  $\dot{L}$  и  $\dot{z}$  приводит к системе

$$\begin{aligned} L\dot{V} &= -\Gamma U_2(p + V^2)(1 - V^2) \\ \dot{L} &= \Gamma U_2(1 + 2p - V^2)V, \quad L\dot{z} = 2\Gamma U_4(3p + V^2)V \\ \Gamma &= \frac{\mu_E \rho_\pi \pi b_1^2}{2a} (3I_1 + 5I_3), \quad p = \frac{I_1 - I_3}{3I_1 + 5I_3} \end{aligned} \quad (3.9)$$

Входящие в эти уравнения функции  $U_2(z)$  и  $U_4(z)$  линейно зависят от параметров  $q_2 - q_3$  и  $q_5 - q_3$ , которые определяются формой внешней оболочки спутника и ее положением относительно главных центральных осей инерции. При  $q_2 = q_3 = q_5$  справедливы тождества  $U_2 \equiv U_4 \equiv 0$ , и правые части уравнений (3.9) обращаются в нуль. В частности, это имеет место, если главные оси эллипсоида инерции и эллипсоида оболочки параллельны. В случае  $q_2 = q_3 = q_5$  несферичность оболочки не влияет на эволюцию переменных  $L$ ,  $V$  и  $z$ , поэтому такой случай рассматриваться не будет. Ниже полагаем  $q_2 \neq q_3$ ,  $q_5 \neq q_3$ .

Поделив второе уравнение системы (3.9) на первое уравнение, получим дифференциальное уравнение первого порядка относительно  $V$  и  $L$  с разделяющимися пере-

менными. Общий интеграл этого уравнения имеет вид

$$W \equiv L\sqrt{p+V^2} \left( \frac{p+V^2}{1-V^2} \right)^{\frac{p}{p+1}} = \text{const} \quad (3.10)$$

Из соотношения (3.10) следует, что модуль кинетического момента  $L$  монотонно убывает до нуля с увеличением  $|V|$  от 0 до 1. С помощью (3.10) исключим  $L$  из первого и третьего уравнений (3.9). Получим

$$\begin{aligned} \dot{V} &= -\Gamma_1 G_V(V, z, p, \mu, w), \quad \dot{z} = \Gamma_1 G_z(V, z, p, \mu, w) \\ G_V &= (p+V^2)^{\frac{5p+3}{2(p+1)}} (1-V^2)^{\frac{1}{p+1}} (wF_1 + F_2) \\ G_z &= 2V(p+V^2)^{\frac{3p+1}{2(p+1)}} (1-V^2)^{-\frac{p}{p+1}} (3p+V^2)(wF_3 + F_4) \\ \Gamma_1 &= \frac{\Gamma(q_5 - q_3)}{W}, \quad w = \frac{q_2 - q_3}{q_5 - q_3} \end{aligned} \quad (3.11)$$

Здесь  $\Gamma_1$ ,  $p$ ,  $\mu$  и  $w$  – параметры, причем  $\Gamma_1$  имеет размерность  $c^{-1}$  и определяет только масштаб времени ( $\Gamma_1$  можно исключить из (3.11) заменой  $\tau = \Gamma_1 t$ ). Параметры  $p$ ,  $\mu$  и  $w$  – безразмерные:  $p \in (0, 1/3)$  характеризует распределение плотности атмосферы вдоль орбиты,  $\mu \in [0, 1]$  зависит от моментов инерции спутника,  $w \in (-\infty, +\infty)$  определяется формой внешней оболочки спутника и ее положением относительно главных центральных осей инерции. Система (3.11) сводится к уравнению первого порядка, допускающему разделение переменных, и является интегрируемой, но ее интеграл не выражается через элементарные функции.

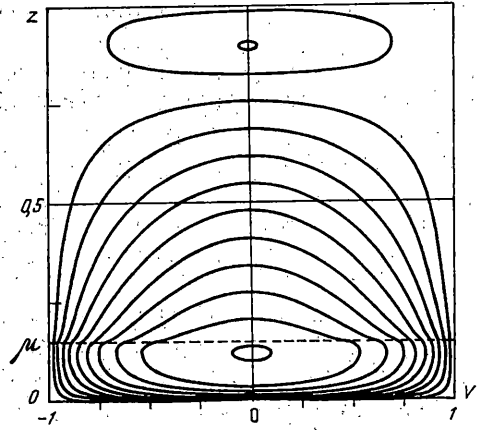
Система (3.11) получена для  $z < \mu$ . Чтобы записать аналогичную систему в случае  $z > \mu$ , в правых частях уравнений (3.11) следует заменить  $\Gamma_1$ ,  $w$ ,  $\mu$  и  $z$  на  $\Gamma_1 w$ ,  $w^{-1}$ ,  $1 - \mu$  и  $1 - z$  соответственно и изменить знак правой части первого уравнения. В результате указанных преобразований получается система

$$\begin{aligned} \dot{V} &= \Gamma_1 w G_V(V, 1-z, p, 1-\mu, w^{-1}) \\ \dot{z} &= \Gamma_1 w G_z(V, 1-z, p, 1-\mu, w^{-1}) \end{aligned} \quad (3.12)$$

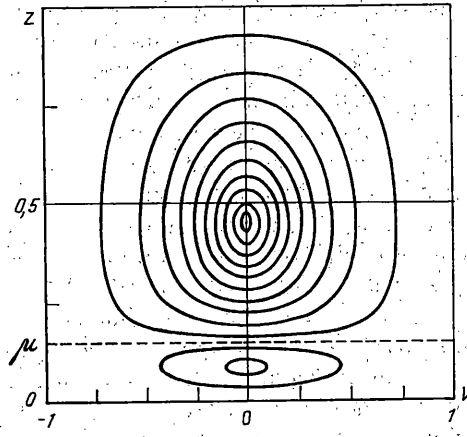
Вид интеграла (3.10) в результате преобразований сохраняется.

Опишем фазовые портреты систем (3.11) и (3.12) в плоскости  $(V, z)$ . Существует всего четыре типа таких портретов. Фазовый портрет типа 1 имеет место при  $w < 0$  (фиг. 2–4), фазовый портрет типа 2 – при  $0 < w < 1$  (фиг. 5), фазовый портрет типа 3 – при  $1 < w < w_*$  (фиг. 6) и фазовый портрет типа 4 – при  $w > w_*$  (фиг. 7). Здесь величина  $w_*$  в случае  $\mu < 1/2$  и  $z > \mu$  является экстремальным значением функции  $-F_1/F_2$ , а в случае  $\mu > 1/2$  и  $z < \mu$  – экстремальным значением функции  $-F_2/F_1$ . Фиг. 2–7 построены при  $\mu = 0,15$ ;  $p = 0,25$  и  $w = -100; -1; -0,2; 0,5; 2; 3$  соответственно. Все траектории, пересекающие прямую  $z = \mu$ , имеют в точке пересечения горизонтальную касательную, так как при  $z = \mu$  производная  $\dot{z}$  обращается в нуль. Такое поведение траекторий объясняется тем, что прямая  $z = \mu$  соответствует сепаратрисе движения Эйлера – Пуансо.

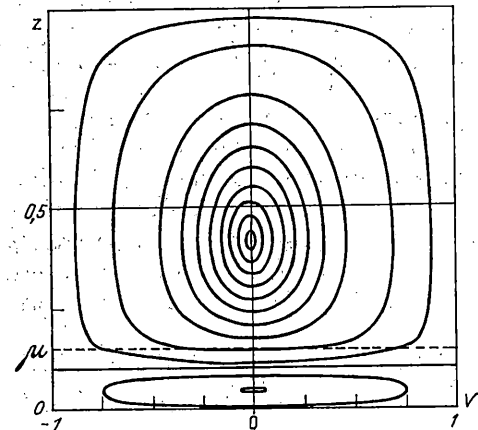
Опишем фазовые портреты при  $\mu < 1/2$ . Фазовый портрет типа 1 характеризуется двумя стационарными решениями типа центр, лежащими на оси  $z$  по разные стороны от точки  $z = \mu$ . Между замкнутыми фазовыми кривыми, охватывающими эти центры, проходит сепаратриса – прямая  $z = z_*$ , которая соединяет две особые точки  $z = z_*$ ,  $V = \pm 1$ . В окрестности указанных точек  $\sup |\dot{z}| = +\infty$ . При  $w < -1$  сепаратриса проходит выше прямой  $z = \mu$ , при  $w = -1$  совпадает с этой прямой, при  $w > -1$  проходит ниже нее.



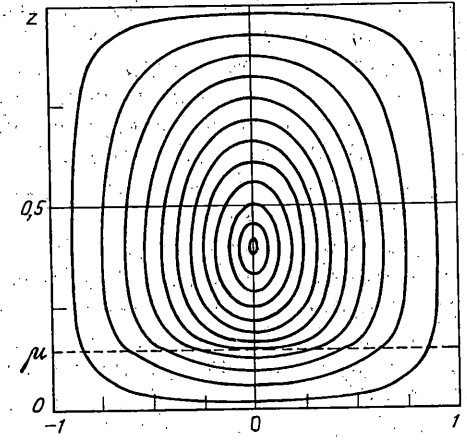
Фиг. 2



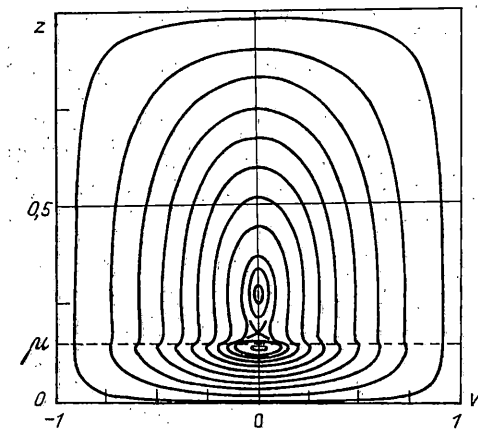
Фиг. 3



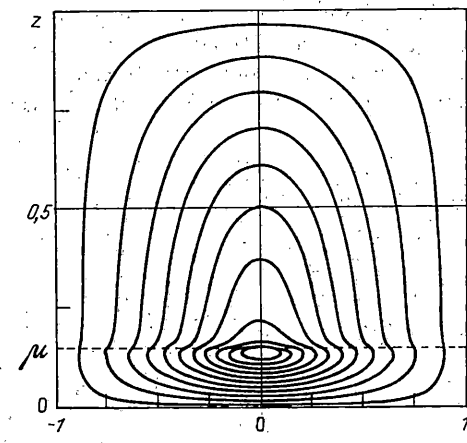
Фиг. 4



Фиг. 5



Фиг. 6



Фиг. 7

Фазовый портрет типа 2 характеризуется единственной стационарной точкой типа центр, лежащей на оси  $z$  выше точки  $z = \mu$ .

Фазовый портрет типа 3 характеризуется двумя стационарными точками типа центр, лежащими на оси  $z$  по разные стороны от точки  $z = \mu$  и одной стационарной точкой типа седло, лежащей на оси  $z$  между этими центрами выше точки  $z = \mu$ .

Фазовый портрет типа 4 характеризуется единственной стационарной точкой типа центр, лежащей на оси  $z$  ниже точки  $z = \mu$ .

При  $\mu > 1/2$  фазовый портрет каждой системы получается зеркальным отображением относительно прямой  $z = 1/2$  фазового портрета той же системы с параметрами  $\mu_1 = 1 - \mu$  ( $\mu_1 < 1/2$ ) и  $w_1 = 1/w$ .

Фазовые кривые, проходящие достаточно близко от каждой стационарной точки типа центр, не пересекают прямой  $z = \mu$ , соответствующей сепаратрисе задачи Эйлера – Пуансо. Такие кривые описывают вращения спутника, происходящие только вокруг одной из осей  $Ox_1$  или  $Ox_2$ . Фазовые кривые, пересекающие прямую  $z = \mu$ , описывают движения, в которых спутник на некоторых интервалах времени вращается вокруг одной из этих осей, а на некоторых интервалах – вокруг другой.

Вдоль решений систем (3.11), (3.12) модуль  $L$  вектора кинетического момента максимален при  $V = 0$ , т.е. в случае, когда  $L$  лежит в плоскости  $Oy_2y_3$ , и уменьшается вместе с уменьшением угла между  $L$  и прямой  $y_2 = y_3 = 0$  (при  $V \rightarrow \pm 1$ ).

При учете эволюции орбиты добавочный член в уравнении (3.7), описывающий эту эволюцию, при усреднении по  $\lambda$  обращается в нуль. Для законности такого усреднения необходимо лишь, чтобы эволюция орбиты происходила существенно медленнее изменения  $\lambda$ . На виде уравнения для  $L$  и  $z$  эволюция орбиты вообще не оказывается. Таким образом, в системах (3.11) и (3.12) эта эволюция проявляется лишь в медленном изменении параметров  $\Gamma_1$  и  $p$ . Параметр  $\Gamma_1$  не влияет на форму фазовых траекторий – от него зависит только скорость движения по этим траекториям, влияние параметра  $p$  оказывается слабо, в частности, стационарные решения систем (3.11) и (3.12) от него не зависят. Таким образом, учет эволюции орбиты не изменит существенно вида траекторий этих систем.

Данная работа выполнена при финансовой поддержке РФФИ (гранты 95-01-00259, 96-01-01125).

#### СПИСОК ЛИТЕРАТУРЫ

1. Белецкий В.В. Движение искусственного спутника относительно центра масс. М.: Наука, 1965. 416 с.
2. Черноусько Ф.Л. О движении спутника относительно центра масс под действием гравитационных моментов // ПММ. 1963. Т. 27. Вып. 3. С. 474–483.
3. Белецкий В.В., Яншин А.М. Влияние аэродинамических сил на вращательное движение искусственных спутников. Киев: Наук. думка, 1984. 187 с.  
Москва

Поступила в редакцию  
15.06.1988